

УДК 622.02

**В.С. Жуков, П.Ю. Иванов**

## **Изменение физических свойств коллектора как результат роста эффективного давления в процессе разработки месторождения (моделирование на примере Южно-Киринского месторождения)**

**Ключевые слова:**

горная порода,  
эффективное  
давление,  
пористость,  
газопроницаемость,  
скорость упругих  
волн,  
пластовые условия.

**Keywords:**

rock,  
effective pressure,  
porosity,  
gas permeability,  
velocity of elastic  
waves,  
in-situ conditions.

Известно, что разработка месторождений нефти и газа, как правило, сопровождается снижением пластового давления, что в свою очередь изменяет физические свойства коллекторов [1, 2]. Давление вышележащих пород (горное давление) при этом не изменяется, но происходит перераспределение напряжений, т.е. часть нагрузки, которую принимал на себя содержащийся в порах горных пород флюид, начинает воспринимать матрица горной породы. Таким образом, снижение пластового (порового) давления и повышение эффективного давления являются основными причинами изменения физических свойств коллекторов, сопровождающего разработку месторождений углеводородов [3, 4]. Под эффективным давлением в данном случае понимается разница между геостатическим, или всесторонним, давлением  $P_{ec}$  и поровым (пластовым) давлением  $P_{n\pi}$  [5]:

$$P_{\phi} = P_{ec} - kP_{n\pi},$$

где величина  $P_{ec}$  определяется мощностью и плотностью вышележащих горных пород;  $k$  – коэффициент, зависящий от свойств скелета породы и слагающих ее минералов (обычно  $k = 1$ ).

Исследования изменения физических свойств коллектора при моделировании роста  $P_{\phi}$  проводились на образцах горных пород Южно-Киринского нефтегазоконденсатного месторождения (НГКМ). Южно-Киринское НГКМ открыто в 2010 г. в Охотском море на северо-восточном шельфе о. Сахалин на расстоянии 35 км от берега и в 6 км на юго-восток от Киринского месторождения. Глубина моря на месторождении меняется в интервале 110–320 м.

Объектом исследований служила коллекция образцов горных пород дагинской свиты Южно-Киринского НГКМ. Моделировались пластовые условия, и в этих условиях определялись основные физические свойства каждого образца, такие как: пористость, сжимаемость порового пространства, удельное электрическое сопротивление с расчетом параметра пористости, скорость распространения упругих волн с расчетом упругих коэффициентов (коэффициента Пуассона, модулей Юнга, сдвига, объемного сжатия). В общей сложности были исследованы более 170 образцов терригенных отложений дагинской свиты, представленных различными песчаниками и алевролитами, из 6 скважин (глубина отбора 2600–2900 м). Диапазон пористости исследованных образцов горных пород составляет от 2,90–33,4 %, диапазон газопроницаемости – 3–1600 мД в атмосферных условиях.

Исследования изменений физических свойств горных пород проводились с помощью моделирующей пластовые условия установки ПУМА-650. Процесс разработки месторождения моделировался путем повышения  $P_{\phi}$  с 37,0 до 47,0 МПа (такой рост наблюдается при снижении  $P_{n\pi}$  на 10,0 МПа). Данные, полученные при исследовании кернового материала для каждого петрофизического параметра, в процессе обработки были сгруппированы по соответствующим давлениям. Далее из всего массива результатов измерения петрофизических параметров выделялись максимальные, минимальные и рассчитывались средние значения, после чего были построены графики

зависимости средних значений исследуемых физических свойств от изменения  $P_{\text{эфф}}$  в диапазоне 2–37,0 МПа (см. далее рис. 1–8).  $P_{\text{эфф}}$ , равное 37,0 МПа, условно принято началом разработки (значения параметров, или физических свойств, при  $P_{\text{эфф}} = 37,0$  МПа приняты за 100 %). Затем аппроксимацией зависимости изменения средних значений каждого параметра (физического свойства) от  $P_{\text{эфф}}$  получены значения параметров при  $P_{\text{эфф}} = 47,0$  МПа, т.е. наглядно отображены их ожидаемые величины при снижении  $P_{\text{пл}}$  на 10,0 МПа. Несмотря на единый принцип построения всех графиков, полученные зависимости уникальны в отношении каждого петрофизического параметра.

На рис. 1 представлены изменения коэффициента пористости  $K_n$  при увеличении  $P_{\text{эфф}}$ . Показано, что при  $P_{\text{эфф}} = 47,0$  МПа среднее ( $K_{n,\text{ср}}$ ) значение  $K_n$  уменьшится на 0,049 абсолютных процентов, или на 0,24 %, относительно значения  $K_n$  при  $P_{\text{эфф}} = 37,0$  МПа.

Рассмотрим зависимость изменения объемной плотности  $\rho$  от  $P_{\text{эфф}}$  (рис. 2). Ожидаемый рост среднего ( $\rho_{\text{ср}}$ ) значения  $\rho$  при снижении  $P_{\text{пл}}$  на 10,0 МПа составил 0,00071 г/см<sup>3</sup>, а относительное изменение – 0,034 %.

Изменение  $K_n$  зависит от сжимаемости порового пространства  $B_{\text{nop}}$ . Влияние роста  $P_{\text{эфф}}$  на  $B_{\text{nop}}$  представлено на рис. 3. Аппроксимация зависимости средних ( $B_{\text{nop,ср}}$ ) значений  $B_{\text{nop}}$  по-

казала, что при снижении  $P_{\text{пл}}$  на 10,0 МПа можно ожидать снижения  $B_{\text{nop,ср}}$  с  $1,60 \cdot 10^{-4}$  до  $1,43 \cdot 10^{-4}$  1/атм, или на  $1,67 \cdot 10^{-5}$  1/атм, что составляет 10,5 % от значения  $B_{\text{nop}}$  при начальном  $P_{\text{эфф}} = 37,0$  МПа.

Рассмотрим влияние увеличения  $P_{\text{эфф}}$  на удельное электрическое сопротивление (УЭС) (рис. 4), которое имеет важное значение в комплексе стандартных геофизических исследований скважин. Зависимость средних ( $\text{УЭС}_{\text{ср}}$ ) значений УЭС от  $P_{\text{эфф}}$  аппроксимируется экспоненциальной кривой. В результате аппроксимации было установлено, что при снижении  $P_{\text{пл}}$  на 10,0 МПа ожидается увеличение УЭС<sub>ср</sub> с 2,497 Ом·м при  $P_{\text{эфф}} = 37,0$  МПа до 2,654 Ом·м при  $P_{\text{эфф}} = 47,0$  МПа, или на 0,157 Ом·м, что составляет относительный рост на 6,3 %.

Результатом интерпретации данных электрического каротажа является получение зависимости  $K_n$  от параметра пористости  $P_n$ . Влияние  $P_{\text{эфф}}$  на  $P_n$  представлено на рис. 5. По зависимости средних значений  $P_n$  от  $P_{\text{эфф}}$  было получено значение  $P_n$  при  $P_{\text{эфф}} = 47,0$  МПа как ожидаемое при снижении  $P_{\text{пл}}$  на 10,0 МПа. Абсолютное увеличение  $P_n$  составило 1,264, а относительный рост – 6,4 %.

В составе методов геофизических исследований скважин важное место занимает акустический каротаж, который позволяет определить интервальное время или скорость

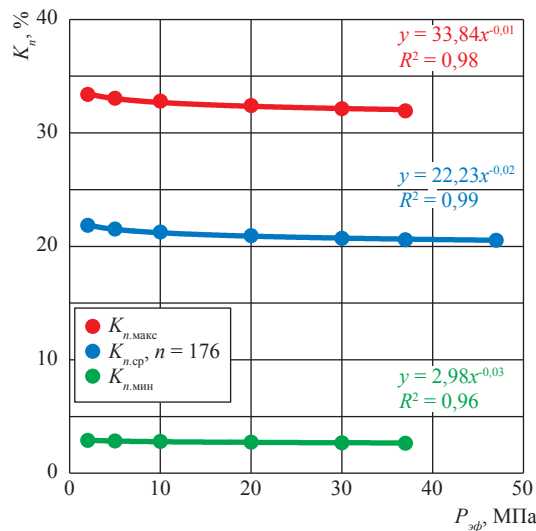


Рис. 1. Влияние эффективного давления на коэффициент пористости:  
 $R^2$  – достоверность аппроксимации данной зависимости;  $n$  – число образцов, по которым получены средние значения

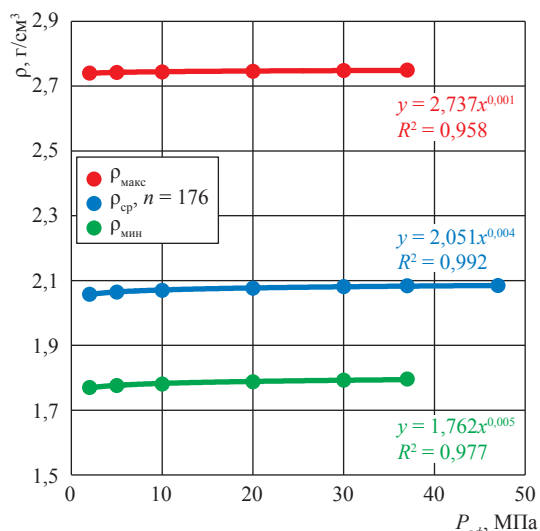


Рис. 2. Влияние эффективного давления на объемную плотность

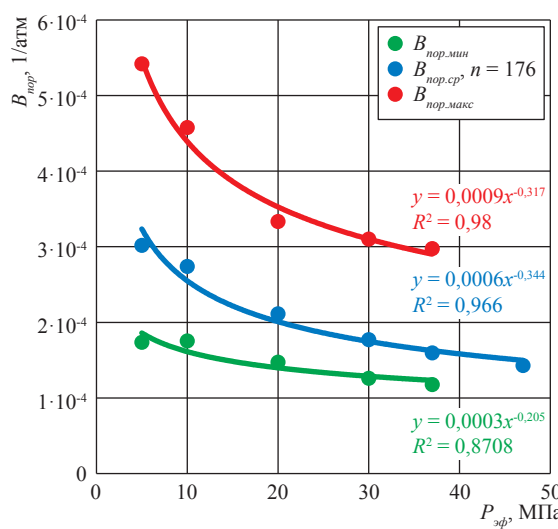


Рис. 3. Зависимость сжимаемости порового пространства от эффективного давления

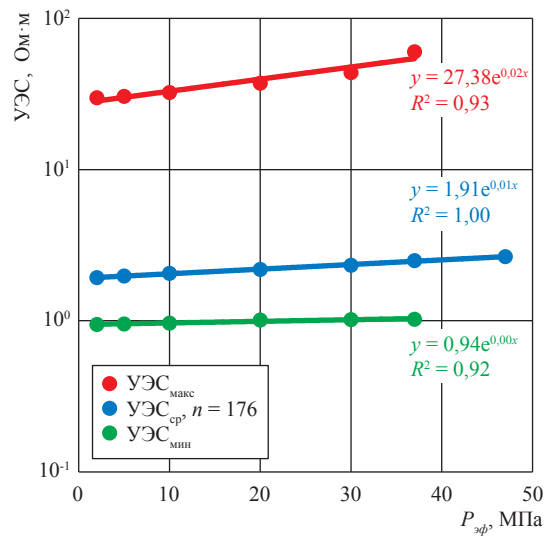


Рис. 4. Влияние эффективного давления на удельное электрическое сопротивление

распространения упругих волн. Рассмотрим влияние эффективного давления на скорости распространения продольных (рис. 6) ( $V_{np}$ ) и поперечных ( $V_{nn}$ ) упругих волн. С помощью аппроксимации зависимости средних значений были получены ожидаемые значения  $V_{np}$  и  $V_{nn}$  при снижении  $P_{\text{ни}}$  на 10,0 МПа.  $V_{np}$  в среднем увеличилась на 0,070 км/с, а относительное изменение составило 2,0 %.  $V_{nn}$  в среднем увеличилась на 0,0187 км/с, относительное изменение составило 1,045 %.

По известным значениям скоростей распространения упругих волн в горных поро-

дах и плотности этих пород можно рассчитать значения таких упругих модулей, как модуль Юнга, коэффициент Пуассона, модуль сдвига, модуль объемного сжатия.

Снижение пластового давления в процессе разработки месторождения приведет не только к уменьшению величины пористости, но и снизит значения проницаемости по газу. Выполненные экспериментальные исследования позволили получить зависимости коэффициента газопроницаемости ( $K_{np}$ ) от  $P_{\text{эфф}}$  (рис. 8). Аппроксимацией зависимости средних значений  $K_{np}$  были получены ожидаемые значения

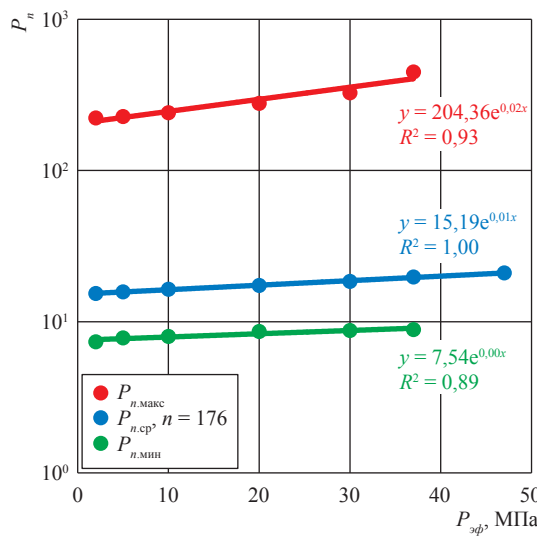


Рис. 5. Зависимость параметра пористости от эффективного давления

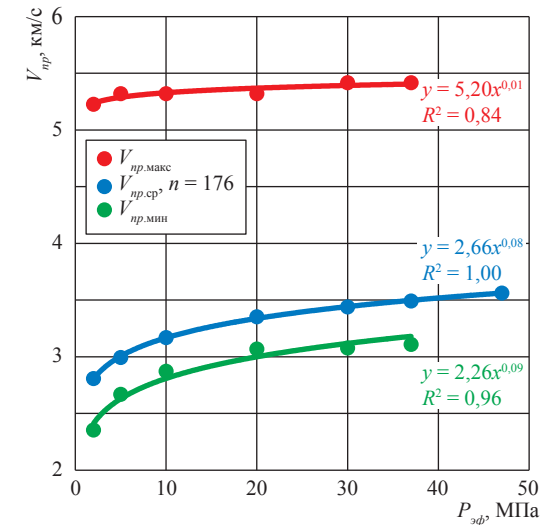


Рис. 6. Изменение скорости продольных волн при росте эффективного давления

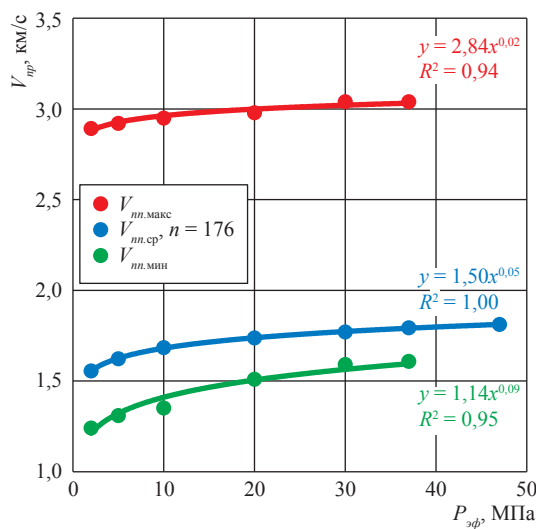


Рис. 7. Изменение скорости поперечных волн при росте эффективного давления

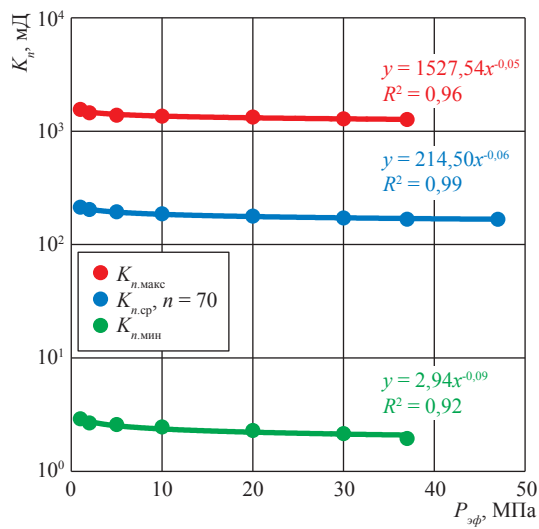


Рис. 8. Изменение газопроницаемости при увеличении эффективного давления

газопроницаемости образцов горных пород при снижении пластового давления на 10,0 МПа.

Газопроницаемость исследованных образцов горных пород при моделировании увеличения эффективного давления на 10 МПа в среднем снизилась на 0,242 мД, а относительное изменение составило 0,144 %, т.е. закономерно газопроницаемость снижается на довольно малую величину. Наибольшие абсолютные изменения газопроницаемости происходят в образцах с высокой проницаемостью, но они не превышают 1,0 % величины газопроницаемости при 37 МПа.

В таблице представлена сводка изменений средних значений исследуемых петрофизических параметров при росте эффективного давления на 10 МПа.

\*\*\*

В заключение необходимо еще раз подчеркнуть: моделирование процесса разработки месторождения при снижении пластового давления, сопровождаемого ростом эффективного давления на 10,0 МПа, показало, что можно ожидать снижения средней величины  $K_n$  на 0,05 абсолютных процентов, или на 0,24 %, и снижения  $K_{np}$  на 0,24 мД, или на 0,14 %. Все изменения петрофизических параметров рассчитаны относительно величин этих параметров при  $P_{\phi}$  в пласте 37,0 МПа, значения которых были приняты за 100 %.

Таким образом, данные об изменениях ряда петрофизических параметров проанализированы с точки зрения их зависимости от изменения  $P_{\phi}$  в пласте, получены в первом приближении

#### Абсолютные и относительные изменения петрофизических параметров при росте $P_{\phi}$ с 37 до 47 МПа

Петрофизические параметры	Снижение (↓) / рост (↑) параметра	Абсолютное изменение	Относительное изменение, %
$K_n, \%$	↓	0,05	0,24
$\rho, \text{г}/\text{см}^3$	↑	0,0007	0,03
$B_{nop}, 1/\text{атм}$	↓	$1,67 \cdot 10^{-5}$	10,5
УЭС, Ом·м	↑	0,157	6,3
$P_n$	↑	1,26	6,4
$V_{np}, \text{км}/\text{с}$	↑	0,07	2,0
$V_{nn}, \text{км}/\text{с}$	↑	0,19	1,0
$K_{np}, \text{мД}$	↓	0,24	0,14

оценки этих изменений. Отмечена необходимость дополнительных экспериментальных испытаний образцов в термобарических условиях, моделирующих пластовые, для уточнения этих зависимостей, зачастую отличающихся от линейных. Полученные данные могут быть использованы как для оценки изменений пластовых условий по данным повторных геофизических исследований скважин, так и для оценки степени изменения продуктивных горизонтов в процессе разработки месторождения, сопровождающейся снижением пластового давления.

### Список литературы

1. Авчян Г.М. Петрофизика осадочных пород в глубинных условиях / Г.М. Авчян, А.А. Матвеенко, З.Б. Стефанович. – М.: Недра, 1979. – 224 с.
2. Дахнов В.Н. Геофизические методы определения коллекторских свойств и нефтегазонасыщенности горных пород / В.Н. Дахнов. – М.: Недра, 1975. – 334 с.
3. Жуков В.С. Лабораторное моделирование снижения пластового давления при разработке месторождений нефти и газа / В.С. Жуков // Бурение и нефть. – 2006. – № 1. – С. 8–9.
4. Кузьмин Ю.О. Современная геодинамика и вариации физических свойств горных пород / Ю.О. Кузьмин, В.С. Жуков. – М.: Изд-во МГГУ, 2004. – 262 с.
5. Добрынин В.М. Деформации и изменения физических свойств коллекторов нефти и газа / В.М. Добрынин. – М.: Недра, 1965. – 163 с.